

Referências bibliográficas

- ABRAMSON, H. N.; PLASS, H. J.; RIPPERGER, E. A. Stress wave propagation in rods and beams, **Advances in Appl. Mech.**, vol.- 5, pp. 111-94, 1958.
- ASTM D-4945-00. Standard Test Method for High-Strain Dynamic Testing of Deep Foundations. ASTM, 2000.
- BARANOV, V.A. On the calculation of excited vibrations of an embedded foundation. **Voprosy Dynamiki I Prochnosti**, No. 14, Polytechnical Institute of Riga, pp. 195-209, 1967.
- BARKAN, D. D. **Dynamics of Bases and Foundations**. McGraw-Hill Book Company Inc., New York, 1962.
- BOWLES, J. E. **Foundation Analysis and Design**. 5th Edition, McGraw-Hill, 1997.
- BURGOS, R. B. **Avaliação de Cargas Críticas e Comportamento Pós-Crítico Inicial de Pórticos Planos**. Dissertação de Mestrado, Pontifícia Universidade Católica do Rio de Janeiro, 2005.
- CHOWDHURY I; DASGUPTA S. P. **Dynamics of Structure and Foundation - A Unified Approach**. Taylor & Francis Group, London, UK, 2009.
- CIMBALA, J.M. **Fourier Transforms**, Penn State University, 2010.
- CLOUGH R.; PENZIEN J. **Dynamics of Structures**. Second Edition (revised), Computer and. Structures Inc., 2003.
- DALBONE, A. R.; SÁNCHEZ, E. S. Análise Dinâmica de Fundações Diretas para Máquina Rotativas, **Engenharia Estudo e Pesquisa**. v. 11 - n. 2 - p. 36-46 - jul./dez. 2011.
- DAS, B. M. **Principles of Soil Dynamics**, PWS-Kent Publishing Co., 570 p, 1993.
- DEEKS A.J.; RANDOLPH M.F. Accuracy in Numerical Analysis of Pile Driving Dynamics. **4th Int. Conf. Application of Stress Wave Theory to Piles**. The Hague, the. Netherlands, pp 85-90, 1992.

WARRINGTON D. C. **Closed Form Solution of the Wave Equations for Piles.** The University of Tennessee at Chattanooga, Thesis of Master of Science Degree, 1999.

GOBLE, G. G.; RAUSCHE, F.; MOSES, F. **Dynamic Studies on the Bearing Capacity of Piles; Phase III Volume I Report No. 48.** Division of Solid Mechanics Structures and Mechanical Design School of Engineering Case Western Reserve University: Cleveland, OH, 1970.

GOBLE, G. G.; RAUSCHE, F.; MOSES, F. **Dynamic Studies on the Bearing Capacity of Piles; Phase III Volume II Report No. 48.** Division of Solid Mechanics Structures and Mechanical Design School of Engineering Case Western Reserve University: Cleveland, OH, 1970.

GOBLE, G. G.; KOVACS, W. D., RAUSCHE, F., June 1972. Field Demonstration: Response of Instrumented Piles to Driving and Load Testing. **Proceedings of the Specialty Conference on Performance of Earth and Earth-Supported Structures**, American Society of Civil Engineers: Lafayette, IN; 3-38, 1972.

HARDIN, B.O.; RICHART, F.E. Elastic wave velocities in granular media. **JSMFD**, ASCE, Vol. 89, No. SM1, 1963.

HARRIS, C. M.; PIERSOL, A. G. **Harris' Shock and Vibration Handbook.** 5th Ed. 2002.

HETENYI, M. **Beams on elastic foundation.** University of Michigan Press, Ann Arbor, 1979.

HUMAR, J.L. **Dynamics of Structures**, A.A. Balkema Publishers, Lisse, 2001.

KITIYODOM, P.; MATSUMOTO, T.; KOJIMA, E.; KUMAGAI, H.; TOMISAWA, K. Analysis of static and dynamic horizontal load tests on steel pipe piles, **Proc. 10th International Conference on Piling and Deep Foundations**, Amsterdam, The Netherlands; 690-699, 2006.

KITIYODOM, P; MATSUMOTO, T. Dynamic analysis of a single pile in time domain considering frequency dependence of soil resistance. **8th International Conference on Application of Stress Wave Theory to Piles**, Lisbon, 2008.

LAGES, E. N. **Formulação hierárquica-espectral de elementos finitos.** Tese de Mestrado, Departamento de Engenharia Civil, PUC-RJ, Agosto 1992.

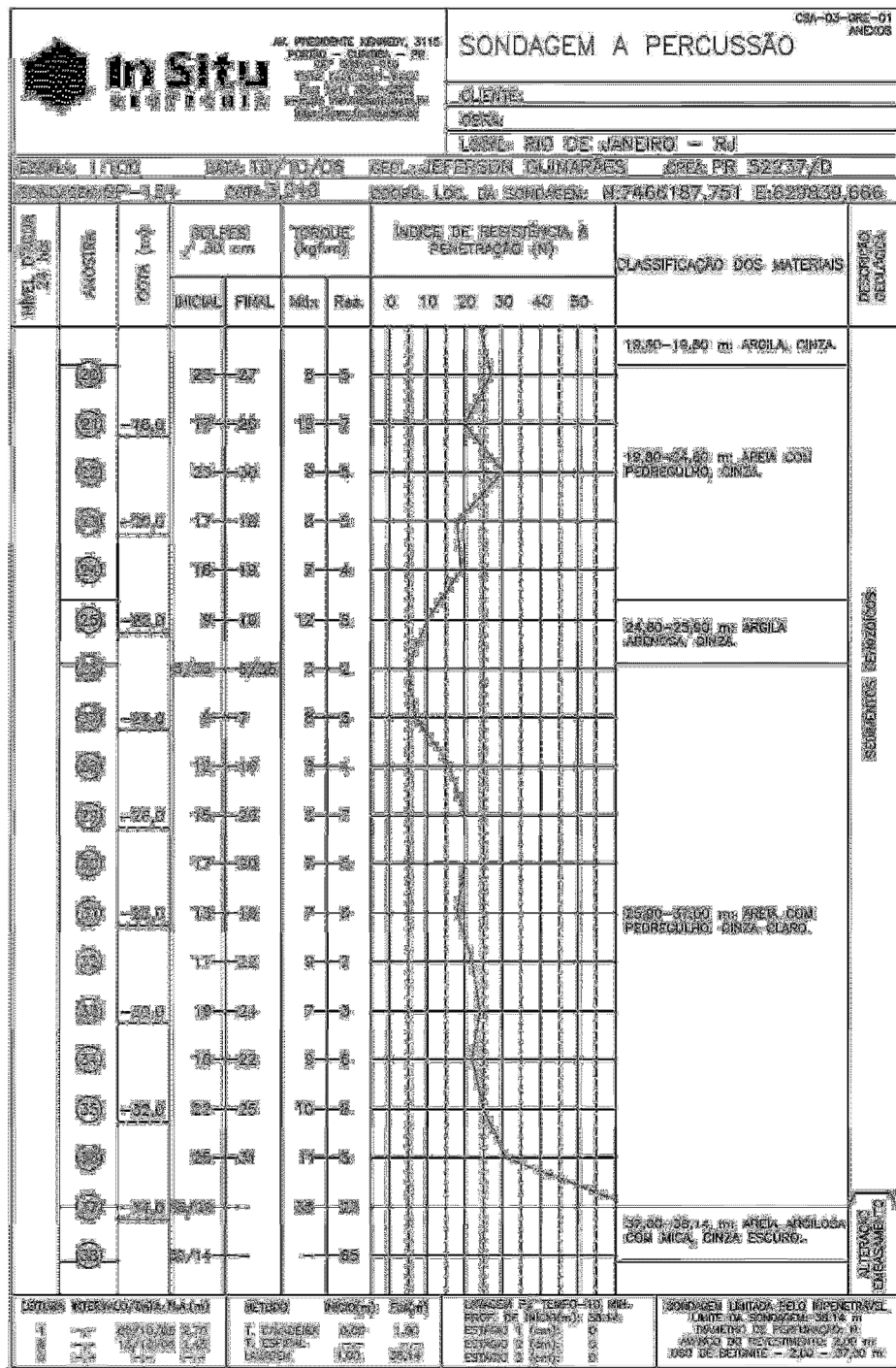
- LEE, S.; CHOW, Y.; KARUNARATNE, G.; WONG, K. (1988). Rational Wave Equation Model for Pile-Driving Analysis. **J. Geotech. Engrg.**, 114(3), 306–325, 1988.
- LYSMER, J.; OSTADAN, F.. CHEN, C. A System for Analysis of Soil Structure Interaction, **SASSI-2000**, University of California, Berkeley, 1999.
- MAXWELL, A. A.; FRY, Z. B.; POPLIN, J. K. Vibratory loading of pile foundations. **ASTM , Special Technical Publication** , 444, 338 - 361. 1969.
- NBR 13208/2007, Estacas - Ensaios de carregamento dinâmico. **ABNT**, 2007.
- NOVAK, M.; BEREDUGO, Y. O. Vertical vibration of embedded footings. **Journal of the Soil Mechanics and Foundations Division ASCE**, vol. 98, no. SM12, pp. 1291–1131, 1972.
- NOVAK, M.; HOWELL, J. F.; Torsional Vibration of Pile Foundations. **Journal of the Engineering Mechanics Division** 103, 271–285, 1977.
- NOVAK, M. Vertical Vibration of Floating Piles. **J. Eng. Mech. Div., ASCE**, Vol. 103, No. EM1, pp. 153-168, 1977.
- NOVAK, M.; EL SHARNOUBY, B. Stiffness Constants of Single Piles. **J. Geotech. Engrg.**, 109(7), 961–974, 1983.
- OHSAKI, Y.; IWASAKI, R. On dynamic shear modulus and Poisson's ratio of soil deposits, **Soils and Foundations**, 13(4), pp. 61–73, 1973.
- POULOS, H. G.; DAVIS, E. H. **Pile Foundations Analysis and Design**. New York: John Wiley and Sons, 1980.
- PURI, V. K. Observed and Predict Natural Frequency of a Pile Foundation, **Proceddings: Second International Conference on Case Histories in Geotechnical Engineering**, June 1-5, 1988, Paper Nº 4.41.
- RANDOLPH, M.F. Pile-soil interaction for dynamic and static loadin', **Application of Stress-Wave Theory to Piles**, Rotterdam, Appendix, pp. 3-11, 2000.
- RICHART, F. E.;HALL, J. R.; WOODS, R. D. **Vibrations of soils and foundations**, Englewood Cliffs, N.J. : Prentice-Hall, 1970.
- SAMSON, C. H.; HIRSCH, T. J.; LOWRY, L L. Computer study of the dynamic behavior of piling. **Journal of the Structural Division, ASCE**, 89, No. ST-4, pp. 413-449, 1963.
- SEED, H.B.; IDRISI, I.M. Soil Moduli and Damping Factors for Dynamic Response Analysis', **Report No. 70-1, EERC**, Berkeley, California, 1970.

- SMITH, E. A. L. Pile Driving Impact. **Proceedings, Industrial Computation Seminar**, International Business Machines Corp., New York, N. Y., p. 44. 1950.
- SMITH, E.A.L., Impact and Longitudinal Wave Transmission. **Transactions, ASME**, August, 1955
- SMITH, E. A. L. What Happens When Hammer Hits Pile. **Engineering News-Record**. 159, September 5, 1957.
- SMITH, E.A.L. Pile Driving Analysis by the Wave Equation. **Journal of Soil Mechanics and Foundations Division**. American Society of Civil Engineers, Vol. 86, 1960.
- WINKLER, E. **Die Lehre Von Elasticitaet Und Festigkeit**. 1st Edn., H. Dominicus, Prague, 1867.
- YESILCE, Y.; CATAL, H. H. Free vibration of semi-rigid connected Reddy–Bickford piles embedded in elastic soil. **Sadhana**, Vol. 33, Part 6, pp. 781–801, 2008.
- ZIENKIEWICZ, O. C., GAGO, J. P. S. R.; KELLY, D. W. The Hierarchical Concept in Finite Element Analysis. **Comp. Struct.** 16: 53-65. 1983.

Apêndice A

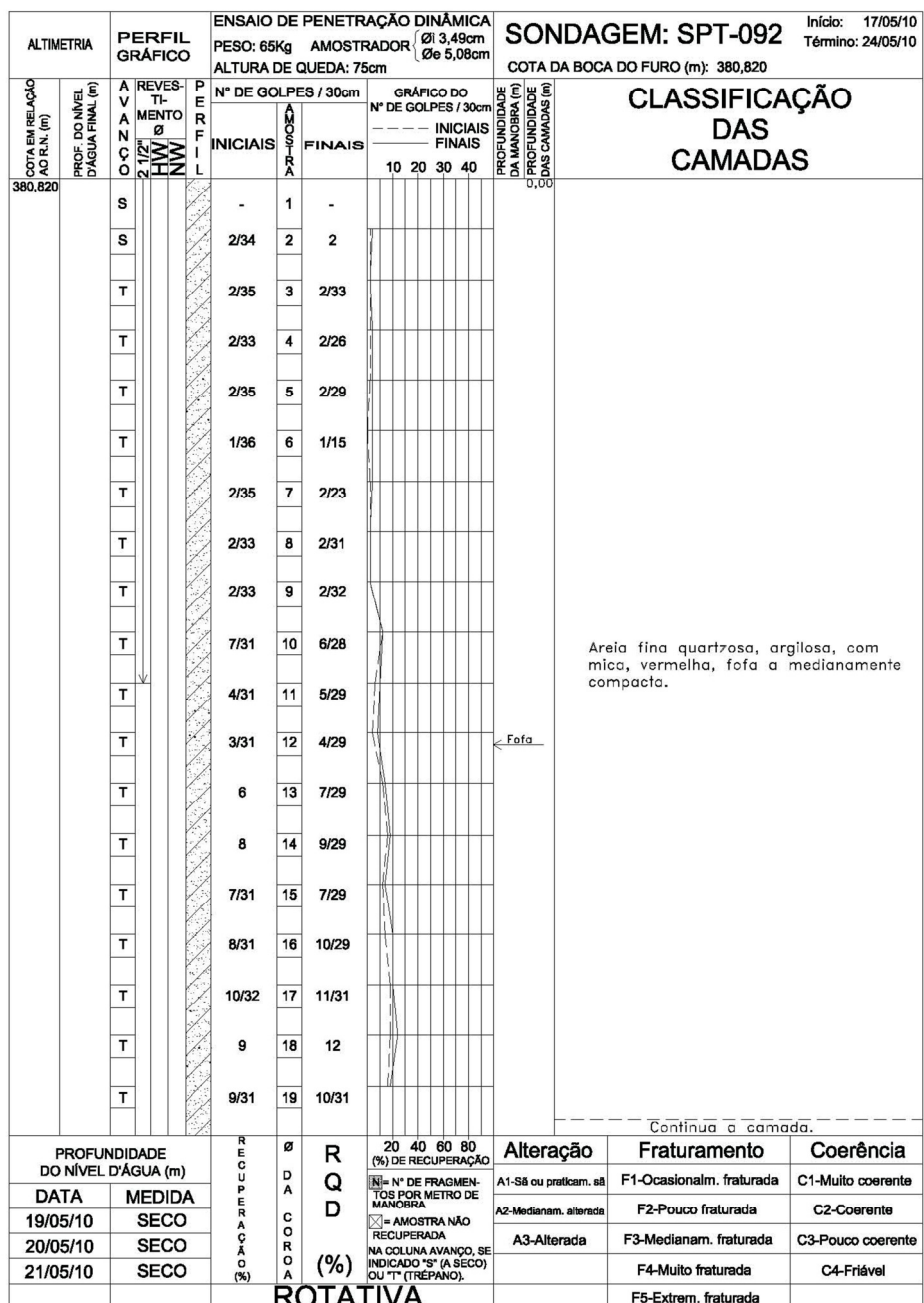
Neste apêndice são apresentados os boletins de sondagens realizadas próximo às estacas que foram modeladas matematicamente.

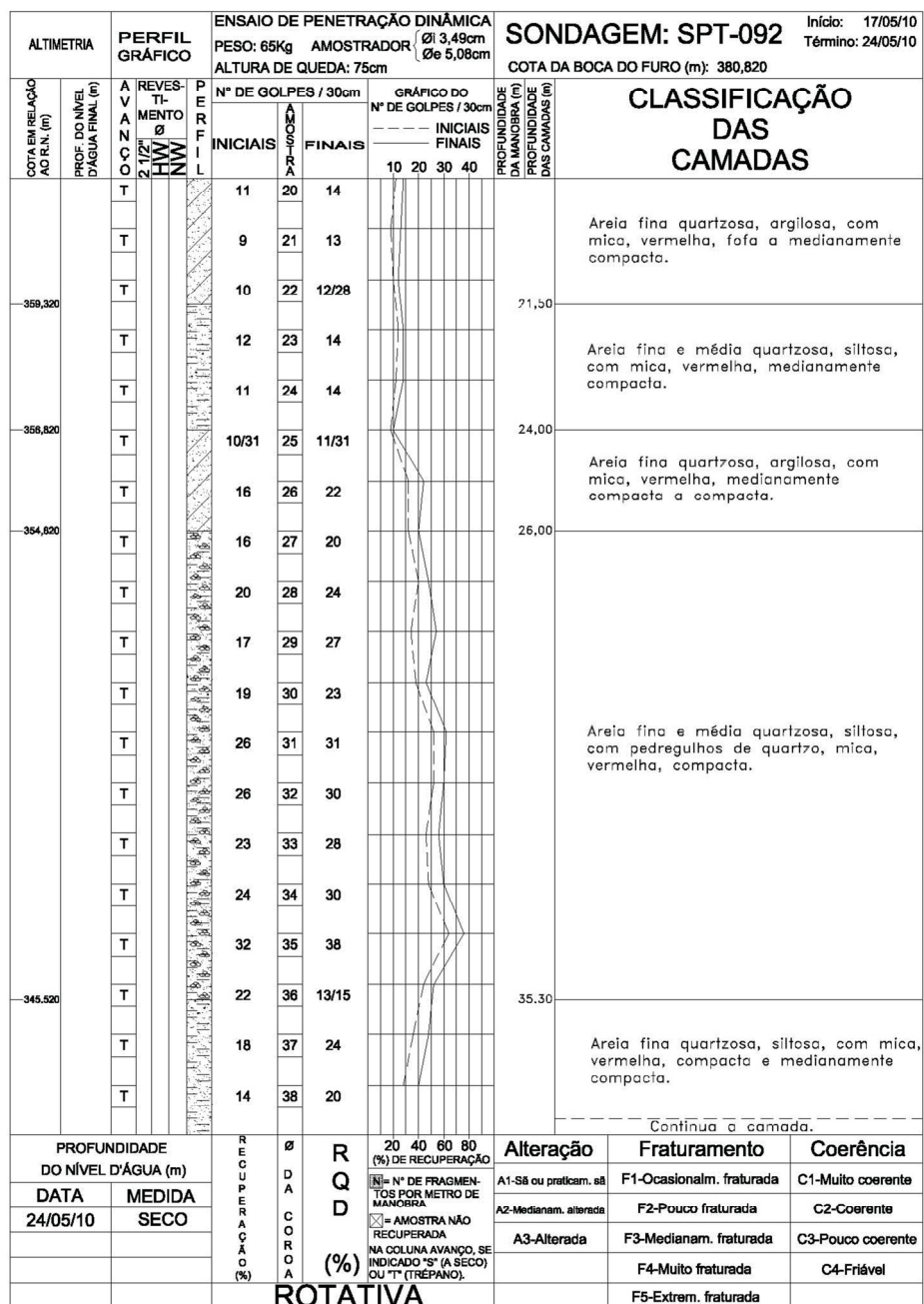
In SITU		AV. PRESIDENTE JOSÉ GOMES, 3105 PORTO - RJ - 22051-000		SONDAGEM A PERCUSSÃO		CSA-03-DRG-01 ANDRUS						
				CLIENTE								
		SOIL: RIO DE JANEIRO - RJ										
DATA: 17/06/2006		DATA: 17/06/2006		SOIL: JEFERSON LUMARÃES		AREA PR: S2237/D						
CÓDIGO: SP-3-07		CÓDIGO: SP-3-07		ENDERECO: LOG. DA ESTRELA, N: 2466187, ZEAL E 629839,666								
Nº SOLICIT.	ANOSTRA	COTA	PESO Kg/cm²	TENSÃO (kg/cm²)	ÍNDICE DE RESISTÊNCIA à PENETRAÇÃO (IP)					CLASSIFICAÇÃO DOS MATERIAIS		
					INICIAL	FINAL	MIN	Máx	Res.		0	10
1	1	2,00	1,70	1,70	1,70	1,70	1,70	1,70	1,70	1,70	1,70	0,00-2,10 m: SÍLITO ARGILOSO, VARIEGADO/ATERRO.
2	2	4,50	3,50	3,50	3,50	3,50	3,50	3,50	3,50	3,50	3,50	2,10-2,50 m: ARGILA, PRETA
3	3	6,5	5,5	5,5	5,5	5,5	5,5	5,5	5,5	5,5	5,5	2,50-5,50 m: ARGILA, CINZA ESCURO.
4	4	-	-	-	-	-	-	-	-	-	-	5,50-5,70 m: ARGILA SÍLOSA ARENOSA, ESMERALDADA.
5	5	-	-	-	-	-	-	-	-	-	-	5,70-6,50 m: AREIA, CINZA
6	6	-	-	-	-	-	-	-	-	-	-	6,50-10,00 m: AREIA, CINZA
7	7	-	-	-	-	-	-	-	-	-	-	10,00-12,00 m: ARGILA, CINZA.
8	8	-	-	-	-	-	-	-	-	-	-	12,00-14,00 m: AREIA, CINZA.
9	9	-	-	-	-	-	-	-	-	-	-	14,00-16,00 m: AREIA, CINZA.
10	10	-	-	-	-	-	-	-	-	-	-	16,00-18,00 m: ARGILA, CINZA.
11	11	-	-	-	-	-	-	-	-	-	-	18,00-19,00 m: ARGILA, CINZA.
12	12	-	-	-	-	-	-	-	-	-	-	19,00-19,50 m: ARGILA, CINZA.
13	13	-	-	-	-	-	-	-	-	-	-	19,50-20,00 m: ARGILA, CINZA.
14	14	-	-	-	-	-	-	-	-	-	-	20,00-20,50 m: ARGILA, CINZA.
15	15	-	-	-	-	-	-	-	-	-	-	20,50-21,00 m: ARGILA, CINZA.
16	16	-	-	-	-	-	-	-	-	-	-	21,00-21,50 m: ARGILA, CINZA.
17	17	-	-	-	-	-	-	-	-	-	-	21,50-22,00 m: ARGILA, CINZA.
18	18	-	-	-	-	-	-	-	-	-	-	22,00-22,50 m: ARGILA, CINZA.
19	19	-	-	-	-	-	-	-	-	-	-	22,50-23,00 m: ARGILA, CINZA.
20	20	-	-	-	-	-	-	-	-	-	-	23,00-23,50 m: ARGILA, CINZA.
21	21	-	-	-	-	-	-	-	-	-	-	23,50-24,00 m: ARGILA, CINZA.
22	22	-	-	-	-	-	-	-	-	-	-	24,00-24,50 m: ARGILA, CINZA.
23	23	-	-	-	-	-	-	-	-	-	-	24,50-25,00 m: ARGILA, CINZA.
24	24	-	-	-	-	-	-	-	-	-	-	25,00-25,50 m: ARGILA, CINZA.
25	25	-	-	-	-	-	-	-	-	-	-	25,50-26,00 m: ARGILA, CINZA.
26	26	-	-	-	-	-	-	-	-	-	-	26,00-26,50 m: ARGILA, CINZA.
27	27	-	-	-	-	-	-	-	-	-	-	26,50-27,00 m: ARGILA, CINZA.
28	28	-	-	-	-	-	-	-	-	-	-	27,00-27,50 m: ARGILA, CINZA.
29	29	-	-	-	-	-	-	-	-	-	-	27,50-28,00 m: ARGILA, CINZA.
30	30	-	-	-	-	-	-	-	-	-	-	28,00-28,50 m: ARGILA, CINZA.
31	31	-	-	-	-	-	-	-	-	-	-	28,50-29,00 m: ARGILA, CINZA.
32	32	-	-	-	-	-	-	-	-	-	-	29,00-29,50 m: ARGILA, CINZA.
33	33	-	-	-	-	-	-	-	-	-	-	29,50-30,00 m: ARGILA, CINZA.
34	34	-	-	-	-	-	-	-	-	-	-	30,00-30,50 m: ARGILA, CINZA.
35	35	-	-	-	-	-	-	-	-	-	-	30,50-31,00 m: ARGILA, CINZA.
36	36	-	-	-	-	-	-	-	-	-	-	31,00-31,50 m: ARGILA, CINZA.
37	37	-	-	-	-	-	-	-	-	-	-	31,50-32,00 m: ARGILA, CINZA.
38	38	-	-	-	-	-	-	-	-	-	-	32,00-32,50 m: ARGILA, CINZA.
39	39	-	-	-	-	-	-	-	-	-	-	32,50-33,00 m: ARGILA, CINZA.
40	40	-	-	-	-	-	-	-	-	-	-	33,00-33,50 m: ARGILA, CINZA.
41	41	-	-	-	-	-	-	-	-	-	-	33,50-34,00 m: ARGILA, CINZA.
42	42	-	-	-	-	-	-	-	-	-	-	34,00-34,50 m: ARGILA, CINZA.
43	43	-	-	-	-	-	-	-	-	-	-	34,50-35,00 m: ARGILA, CINZA.
44	44	-	-	-	-	-	-	-	-	-	-	35,00-35,50 m: ARGILA, CINZA.
45	45	-	-	-	-	-	-	-	-	-	-	35,50-36,00 m: ARGILA, CINZA.
46	46	-	-	-	-	-	-	-	-	-	-	36,00-36,50 m: ARGILA, CINZA.
47	47	-	-	-	-	-	-	-	-	-	-	36,50-37,00 m: ARGILA, CINZA.
48	48	-	-	-	-	-	-	-	-	-	-	37,00-37,50 m: ARGILA, CINZA.
49	49	-	-	-	-	-	-	-	-	-	-	37,50-38,00 m: ARGILA, CINZA.
50	50	-	-	-	-	-	-	-	-	-	-	38,00-38,50 m: ARGILA, CINZA.
51	51	-	-	-	-	-	-	-	-	-	-	38,50-39,00 m: ARGILA, CINZA.
52	52	-	-	-	-	-	-	-	-	-	-	39,00-39,50 m: ARGILA, CINZA.
53	53	-	-	-	-	-	-	-	-	-	-	39,50-40,00 m: ARGILA, CINZA.
54	54	-	-	-	-	-	-	-	-	-	-	40,00-40,50 m: ARGILA, CINZA.
55	55	-	-	-	-	-	-	-	-	-	-	40,50-41,00 m: ARGILA, CINZA.
56	56	-	-	-	-	-	-	-	-	-	-	41,00-41,50 m: ARGILA, CINZA.
57	57	-	-	-	-	-	-	-	-	-	-	41,50-42,00 m: ARGILA, CINZA.
58	58	-	-	-	-	-	-	-	-	-	-	42,00-42,50 m: ARGILA, CINZA.
59	59	-	-	-	-	-	-	-	-	-	-	42,50-43,00 m: ARGILA, CINZA.
60	60	-	-	-	-	-	-	-	-	-	-	43,00-43,50 m: ARGILA, CINZA.
61	61	-	-	-	-	-	-	-	-	-	-	43,50-44,00 m: ARGILA, CINZA.
62	62	-	-	-	-	-	-	-	-	-	-	44,00-44,50 m: ARGILA, CINZA.
63	63	-	-	-	-	-	-	-	-	-	-	44,50-45,00 m: ARGILA, CINZA.
64	64	-	-	-	-	-	-	-	-	-	-	45,00-45,50 m: ARGILA, CINZA.
65	65	-	-	-	-	-	-	-	-	-	-	45,50-46,00 m: ARGILA, CINZA.
66	66	-	-	-	-	-	-	-	-	-	-	46,00-46,50 m: ARGILA, CINZA.
67	67	-	-	-	-	-	-	-	-	-	-	46,50-47,00 m: ARGILA, CINZA.
68	68	-	-	-	-	-	-	-	-	-	-	47,00-47,50 m: ARGILA, CINZA.
69	69	-	-	-	-	-	-	-	-	-	-	47,50-48,00 m: ARGILA, CINZA.
70	70	-	-	-	-	-	-	-	-	-	-	48,00-48,50 m: ARGILA, CINZA.
71	71	-	-	-	-	-	-	-	-	-	-	48,50-49,00 m: ARGILA, CINZA.
72	72	-	-	-	-	-	-	-	-	-	-	49,00-49,50 m: ARGILA, CINZA.
73	73	-	-	-	-	-	-	-	-	-	-	49,50-50,00 m: ARGILA, CINZA.
74	74	-	-	-	-	-	-	-	-	-	-	50,00-50,50 m: ARGILA, CINZA.
75	75	-	-	-	-	-	-	-	-	-	-	50,50-51,00 m: ARGILA, CINZA.
76	76	-	-	-	-	-	-	-	-	-	-	51,00-51,50 m: ARGILA, CINZA.
77	77	-	-	-	-	-	-	-	-	-	-	51,50-52,00 m: ARGILA, CINZA.
78	78	-	-	-	-	-	-	-	-	-	-	52,00-52,50 m: ARGILA, CINZA.
79	79	-	-	-	-	-	-	-	-	-	-	52,50-53,00 m: ARGILA, CINZA.
80	80	-	-	-	-	-	-	-	-	-	-	53,00-53,50 m: ARGILA, CINZA.
81	81	-	-	-	-	-	-	-	-	-	-	53,50-54,00 m: ARGILA, CINZA.
82	82	-	-	-	-	-	-	-	-	-	-	54,00-54,50 m: ARGILA, CINZA.
83	83	-	-	-	-	-	-	-	-	-	-	54,50-55,00 m: ARGILA, CINZA.
84	84	-	-	-	-	-	-	-	-	-	-	55,00-55,50 m: ARGILA, CINZA.
85	85	-	-	-	-	-	-	-	-	-	-	55,50-56,00 m: ARGILA, CINZA.
86	86	-	-	-	-	-	-	-	-	-	-	56,00-56,50 m: ARGILA, CINZA.
87	87	-	-	-	-	-	-	-	-	-	-	56,50-57,00 m: ARGILA, CINZA.
88	88	-	-	-	-	-	-	-	-	-	-	57,00-57,50 m: ARGILA, CINZA.
89	89	-	-	-	-	-	-	-	-	-	-	57,50-58,00 m: ARGILA, CINZA.
90	90	-	-	-	-	-	-	-	-	-	-	58,00-58,50 m: ARGILA, CINZA.
91	91	-	-	-	-	-	-	-	-	-	-	58,50-59,00 m: ARGILA, CINZA.
92	92	-	-	-	-	-	-	-	-	-	-	59,00-59,50 m: ARGILA, CINZA.
93	93	-	-	-	-	-	-	-	-	-	-	59,50-60,00 m: ARGILA, CINZA.
94	94	-	-	-	-	-	-	-	-	-	-	60,00-60,50 m: ARGILA, CINZA.
95	95	-	-	-	-	-	-	-	-	-	-	60,50-61,00 m: ARGILA, CINZA.
96	96	-	-	-	-	-	-	-	-	-	-	61,00-61,50 m: ARGILA, CINZA.
97	97	-	-	-	-	-	-	-	-	-	-	61,50-62,00 m: ARGILA, CINZA.
98	98	-	-	-	-	-	-	-	-	-	-	62,00-62,50 m: ARGILA, CINZA.
99	99	-	-	-	-	-	-	-	-	-	-	62,50-63,00 m: ARGILA, CINZA.
100	100	-	-	-	-	-	-	-	-	-	-	63,00-63,50 m: ARGILA, CINZA.
101	101	-	-	-	-	-	-	-	-	-	-	63,50-64,00 m: ARGILA, CINZA.
102	102	-	-	-	-	-	-	-	-	-	-	64,00-64,50 m: ARGILA, CINZA.
103	103	-	-	-	-	-	-	-	-	-	-	64,50-65,00 m: ARGILA, CINZA.
104	104	-	-	-	-	-	-	-	-	-	-	65,00-65,50 m: ARGILA, CINZA.
105	105	-	-	-	-	-	-	-	-	-	-	65,50-66,00 m: ARGILA, CINZA.
106	106	-	-	-	-	-	-	-	-	-	-	66,00-66,50 m: ARGILA, CINZA.
107	107	-	-	-	-	-	-	-	-	-	-	66,50-67,00 m: ARGILA, CINZA.
108	108	-	-	-	-	-	-	-	-	-	-	67,00-67,50 m: ARGILA, CINZA.
109	109	-	-	-	-	-	-	-	-	-	-	67,50-68,00 m: ARGILA, CINZA.
110	110	-	-	-	-	-	-	-	-	-	-	68,00-68,50 m: ARGILA, CINZA.
111	111	-	-	-	-	-	-	-	-	-	-	68,50-69,00 m: ARGILA, CINZA.
112	112	-	-	-	-	-	-	-	-	-	-	69,00-69,50 m: ARGILA, CINZA.
113	113	-	-	-	-	-	-	-	-	-	-	69,50-70,00 m: ARGILA, CINZA.
114	114	-	-	-	-	-	-	-	-	-	-	70,00-70,50 m: ARGILA, CINZA.
115	115	-	-	-	-	-	-	-	-	-	-	70,50-71,00 m: ARGILA, CINZA.
116	116	-	-	-	-	-	-	-	-	-	-	71,00-71,50 m: ARGILA, CINZA.
117	117	-	-	-	-	-	-	-	-	-	-	71,50-72,00 m: ARGILA, CINZA.
118	118	-	-	-	-	-	-	-	-	-	-	72,00-72,50 m: ARGILA, CINZA.
119	119	-	-	-	-	-	-	-	-	-	-	72,50-73,00 m: ARGILA, CINZA.
120	120	-	-	-	-							



In SITU		AV. PREDONTE NOVO, 3116 PRAIA - CAXIAS - RJ		SONDAGEM A PERCUSSÃO		CSA-03-DRE-01 ANEXOS											
				CLIENTE:													
				DATA:													
ESCOLA TECNICO INDUSTRIAL		SEBL-JEFERSON CLIMARDES		ÁREA PR. 52237,00													
CONDUCESP-1,57		SOP.		ESCOLA LOS. DA SONDAÇÃO: N - E -													
Nº	ADENTRO	T	POLEGA 30 cm	TRACOUE (Kg/cm)	ÍNDICE DE RESISTÊNCIA À PENETRAÇÃO (N)					CLASSIFICAÇÃO DOS MATERIAIS	DESCRIÇÃO						
			TOTAL	INICIAL	FINAL	MAX	REL.	0	10			20	30	40	50		
			1	1	1	1	1										
			2	2	2	2	2										
			3	3	3	3	3										
			4	4	4	4	4										
			5	5	5	5	5										
			6	6	6	6	6										
			7	7	7	7	7										
			8	8	8	8	8										
			9	9	9	9	9										
			10	10	10	10	10										
			11	11	11	11	11										
			12	12	12	12	12										
			13	13	13	13	13										
			14	14	14	14	14										
			15	15	15	15	15										
			16	16	16	16	16										
17	17	17	17	17													
18	18	18	18	18													
19	19	19	19	19													
20	20	20	20	20													
21	21	21	21	21													
22	22	22	22	22													
23	23	23	23	23													
24	24	24	24	24													
25	25	25	25	25													
26	26	26	26	26													
27	27	27	27	27													
28	28	28	28	28													
29	29	29	29	29													
30	30	30	30	30													
31	31	31	31	31													
32	32	32	32	32													
33	33	33	33	33													
34	34	34	34	34													
35	35	35	35	35													
36	36	36	36	36													
37	37	37	37	37													
38	38	38	38	38													
39	39	39	39	39													
40	40	40	40	40													
41	41	41	41	41													
42	42	42	42	42													
43	43	43	43	43													
44	44	44	44	44													
45	45	45	45	45													
46	46	46	46	46													
47	47	47	47	47													
48	48	48	48	48													
49	49	49	49	49													
50	50	50	50	50													
51	51	51	51	51													
52	52	52	52	52													
53	53	53	53	53													
54	54	54	54	54													
55	55	55	55	55													
56	56	56	56	56													
57	57	57	57	57													
58	58	58	58	58													
59	59	59	59	59													
60	60	60	60	60													
61	61	61	61	61													
62	62	62	62	62													
63	63	63	63	63													
64	64	64	64	64													
65	65	65	65	65													
66	66	66	66	66													
67	67	67	67	67													
68	68	68	68	68													
69	69	69	69	69													
70	70	70	70	70													
71	71	71	71	71													
72	72	72	72	72													
73	73	73	73	73													
74	74	74	74	74													
75	75	75	75	75													
76	76	76	76	76													
77	77	77	77	77													
78	78	78	78	78													
79	79	79	79	79													
80	80	80	80	80													
81	81	81	81	81													
82	82	82	82	82													
83	83	83	83	83													
84	84	84	84	84													
85	85	85	85	85													
86	86	86	86	86													
87	87	87	87	87													
88	88	88	88	88													
89	89	89	89	89													
90	90	90	90	90													
91	91	91	91	91													
92	92	92	92	92													
93	93	93	93	93													
94	94	94	94	94													
95	95	95	95	95													
96	96	96	96	96													
97	97	97	97	97													
98	98	98	98	98													
99	99	99	99	99													
100	100	100	100	100													
101	101	101	101	101													
102	102	102	102	102													
103	103	103	103	103													
104	104	104	104	104													
105	105	105	105	105													
106	106	106	106	106													
107	107	107	107	107													
108	108	108	108	108													
109	109	109	109	109													
110	110	110	110	110													
111	111	111	111	111													
112	112	112	112	112													
113	113	113	113	113													
114	114	114	114	114													
115	115	115	115	115													
116	116	116	116	116													
117	117	117	117	117													
118	118	118	118	118													
119	119	119	119	119													
120	120	120	120	120													
121	121	121	121	121													
122	122	122	122	122													
123	123	123	123	123													
124	124	124	124	124													
125	125	125	125	125													
126	126	126	126	126													
127	127	127	127	127													
128	128	128	128	128													
129	129	129	129	129													
130	130	130	130	130													
131	131	131	131	131													
132	132	132	132	132													
133	133	133	133	133													
134	134	134	134	134													
135	135	135	135	135													
136	136	136	136	136													
137	137	137	137	137													
138	138	138	138	138													
139	139	139	139	139													
140	140	140	140	140													
141	141	141	141	141													
142	142	142	142	142													
143	143	143	143	143													
144	144	144	144	144													
145	145	145	145	145													
146	146	146	146	146													
147	147	147	147	147													
148	148	148	148	148													
149	149	149	149	149													
150	150	150	150	150													
151	151	151	151	151													
152	152	152	152	152													
153	153	153	153	153													
154	154	154	154	154													
155	155	155	155	155													

		AV. PRESIDENTE KENNEDY, 3115 PRAIA - GUARAPARI - ES		CMA-03-CRE-01 ANEXO 3		SONDAGEM A PERCUSSÃO																	
						CLIENTE:		ENDERECO:		LEMBRANÇA:													
DATA: 17/10/08		Nº DA SONDAGEM: 00000000000000000000		GEOL.: JEFERSON DUMARAS		CLASSIFICAÇÃO DOS MATERIAIS																	
SONDAGEM SP-457		ANO: 2008		PROG. LOG. NA SONDAGEM: N.º E.		CLASSIFICAÇÃO DOS MATERIAIS																	
Nº DE PONTO	Nº DE F	POSIÇÃO	DEPTO	PESO		TENSÃO [kg/cm²]	TORQUE [kgf.m]	ÍNDICE DE RESISTÊNCIA A PENETRAÇÃO (IN)						CLASSIFICAÇÃO DOS MATERIAIS	DESCRIÇÃO GEOLÓGICA								
				INICIAL	FINAL			MÉD.	RMS	0	10	20	30			40	50						
1	2	3	4	5	6	7	8	9	10	11	12	13	14	15	16								
17	18	19	20	21	22	23	24	25	26	27	28	29	30	31	32								
33	34	35	36	37	38	39	40	41	42	43	44	45	46	47	48								
49	50	51	52	53	54	55	56	57	58	59	60	61	62	63	64								
65	66	67	68	69	70	71	72	73	74	75	76	77	78	79	80								
81	82	83	84	85	86	87	88	89	90	91	92	93	94	95	96								
97	98	99	100	101	102	103	104	105	106	107	108	109	110	111	112								
113	114	115	116	117	118	119	120	121	122	123	124	125	126	127	128								
129	130	131	132	133	134	135	136	137	138	139	140	141	142	143	144								
145	146	147	148	149	150	151	152	153	154	155	156	157	158	159	160								
161	162	163	164	165	166	167	168	169	170	171	172	173	174	175	176								
177	178	179	180	181	182	183	184	185	186	187	188	189	190	191	192								
193	194	195	196	197	198	199	200	201	202	203	204	205	206	207	208								
209	210	211	212	213	214	215	216	217	218	219	220	221	222	223	224								
225	226	227	228	229	230	231	232	233	234	235	236	237	238	239	240								
241	242	243	244	245	246	247	248	249	250	251	252	253	254	255	256								
257	258	259	260	261	262	263	264	265	266	267	268	269	270	271	272								
273	274	275	276	277	278	279	280	281	282	283	284	285	286	287	288								
289	290	291	292	293	294	295	296	297	298	299	300	301	302	303	304								
305	306	307	308	309	310	311	312	313	314	315	316	317	318	319	320								
321	322	323	324	325	326	327	328	329	330	331	332	333	334	335	336								
337	338	339	340	341	342	343	344	345	346	347	348	349	350	351	352								
353	354	355	356	357	358	359	360	361	362	363	364	365	366	367	368								
369	370	371	372	373	374	375	376	377	378	379	380	381	382	383	384								
385	386	387	388	389	390	391	392	393	394	395	396	397	398	399	400								
401	402	403	404	405	406	407	408	409	410	411	412	413	414	415	416								
417	418	419	420	421	422	423	424	425	426	427	428	429	430	431	432								
433	434	435	436	437	438	439	440	441	442	443	444	445	446	447	448								
449	450	451	452	453	454	455	456	457	458	459	460	461	462	463	464								
465	466	467	468	469	470	471	472	473	474	475	476	477	478	479	480								
481	482	483	484	485	486	487	488	489	490	491	492	493	494	495	496								
497	498	499	500	501	502	503	504	505	506	507	508	509	510	511	512								
513	514	515	516	517	518	519	520	521	522	523	524	525	526	527	528								
529	530	531	532	533	534	535	536	537	538	539	540	541	542	543	544								
545	546	547	548	549	550	551	552	553	554	555	556	557	558	559	560								
561	562	563	564	565	566	567	568	569	570	571	572	573	574	575	576								
577	578	579	580	581	582	583	584	585	586	587	588	589	590	591	592								
593	594	595	596	597	598	599	600	601	602	603	604	605	606	607	608								
609	610	611	612	613	614	615	616	617	618	619	620	621	622	623	624								
625	626	627	628	629	630	631	632	633	634	635	636	637	638	639	640								
641	642	643	644	645	646	647	648	649	650	651	652	653	654	655	656								
657	658	659	660	661	662	663	664	665	666	667	668	669	670	671	672								
673	674	675	676	677	678	679	680	681	682	683	684	685	686	687	688								
689	690	691	692	693	694	695	696	697	698	699	700	701	702	703	704								
705	706	707	708	709	710	711	712	713	714	715	716	717	718	719	720								
721	722	723	724	725	726	727	728	729	730	731	732	733	734	735	736								
737	738	739	740	741	742	743	744	745	746	747	748	749	750	751	752								
753	754	755	756	757	758	759	760	761	762	763	764	765	766	767	768								
769	770	771	772	773	774	775	776	777	778	779	780	781	782	783	784								
785	786	787	788	789	790	791	792	793	794	795	796	797	798	799	800								
801	802	803	804	805	806	807	808	809	810	811	812	813	814	815	816								
817	818	819	820	821	822	823	824	825	826	827	828	829	830	831	832								
833	834	835	836	837	838	839	840	841	842	843	844	845	846	847	848								
849	850	851	852	853	854	855	856	857	858	859	860	861	862	863	864								
865	866	867	868	869	870	871	872	873	874	875	876	877	878	879	880								
881	882	883	884	885	886	887	888	889	890	891	892	893	894	895	896								
897	898	899	900	901	902	903	904	905	906	907	908	909	910	911	912								
913	914	915	916	917	918	919	920	921	922	923	924	925	926	927	928								
929	930	931	932	933	934	935	936	937	938	939	940	941	942	943	944								
945	946	947	948	949	950	951	952	953	954	955	956	957	958	959	960								
961	962	963	964	965	966	967	968	969	970	971	972	973	974	975	976								
977	978	979	980	981	982	983	984	985	986	987	988	989	990	991	992								
993	994	995	996	997	998	999	1000	1001	1002	1003	1004	1005	1006	1007	1008								
1009	1010	1011	1012	1013	1014	1015	1016	1017	1018	1019	1020	1021	1022	1023	1024								
1025	1026	1027	1028	1029	1030	1031	1032	1033	1034	1035	1036	1037	1038	1039	1040								
1041	1042	1043	1044	1045	1046	1047	1048	1049	1050	1051	1052	1053	1054	1055	1056								
1057	1058	1059	1060	1061	1062	1063	1064	1065	1066	1067	1068	1069	1070	1071	1072								
1073	1074	1075	1076	1077	1078	1079	1080	1081	1082	1083	1084	1085	1086	1087	1088								
1089	1090	1091	1092	1093	1094	1095	1096	1097	1098	1099	1100	1101	1102	1103	1104								
1105	1106	1107	1108	1109	1110	1111	1112	1113	1114	1115	1116	1117	1118	1119	1120								
1121	1122	1123	1124	1125	1126	1127	1128	1129	1130	1131	1132	1133	1134	1135	1136								
1137	1138	1139	1140	1141	1142	1143	1144	1145	1146	1147	1148	1149	1150	1151	1152								
1153	1154	1155	1156	1157	1158	1159	1160	1161	1162	1163	1164	1165	11										





Apêndice B

Neste apêndice é apresenta a rotina programada para a determinação de frequências longitudinais em estacas.

Vibrações Axiais em Estacas: Barra em Base Elástica

1. Introdução

Metodologia, baseada no método de Rayleigh-Ritz para cálculo de freqüências naturais de vibração de barras em base elástica. Para deslocamentos longitudinais são utilizadas funções lineares convencionais enriquecidas por um número NL de e funções adicionais trigonométricas. Essas funções adicionais satisfazem as condições de contorno nulas em deslocamentos e rotações.

$$L := 35.9 \text{ Comprimento da estaca [m]}$$

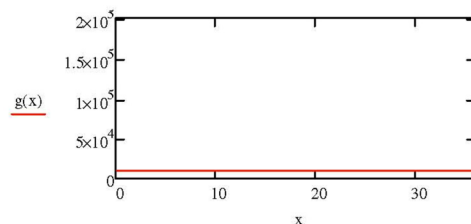
$$K_s := 353695 \text{ Soil Spring Stiffness [kN/m]}$$

$$d := 34.3 \text{ Comprimento imerso em solo [m]}$$

$$K_s = 3.53695 \times 10^5$$

Função $g(x) = K_s/L$ (modulus of subgrade reaction).

$$g(x) := \frac{K_s}{d} \text{ Modulus of Subgrade Reaction [kN/m}^2]$$



$$E := 29979 \cdot 10^3 \text{ Módulo de elasticidade longitudinal da estaca [kN/m}^2]$$

$$\rho_0 := 24 \text{ Peso específico do material da estaca [kN/m}^3]$$

$$A := 2039 \cdot 10^{-4} \text{ Área da seção transversal da estaca [m}^2]$$

$$m := \frac{A \cdot L \cdot \rho_0}{L \cdot 9.81} \text{ massa por unid. comprimento da estaca [kN/m/(m/s}^2])$$

Números de funções adicionais: NL := 15

2. Funções Básicas Longitudinais de uma Barra

No caso de uma barra sujeita apenas a alongamento/encurtamento o campo de deslocamentos convencional é uma função linear dos deslocamentos nodais.

$$ub(x, L) := \begin{pmatrix} 1 - \frac{x}{L} \\ \frac{x}{L} \end{pmatrix} \quad dub(x, L) := \begin{pmatrix} -\frac{1}{L} \\ \frac{1}{L} \end{pmatrix}$$

Funções Adicionais

As funções adicionais longitudinais são obtidas de forma hierárquica. No caso, basta utilizar termos em seno, que atendem à condição de zero deslocamento nos nós.

$$nL := 1..NL$$

$$uL(x, nL, L) := \sin\left(\frac{nL \cdot \pi \cdot x}{L}\right)$$

$$dL(x, nL, L) := \cos\left(nL \cdot \frac{\pi}{L} \cdot x\right) \cdot nL \cdot \frac{\pi}{L}$$

Tomando apenas funções polinomiais básicas ub:

$$i := 1..2 \quad j := 1..2$$

Energia cinética VC -> matriz de massa:

$$M_{CLb,i,j} := \int_0^L m \cdot ub(x, L)_i \cdot ub(x, L)_j dx$$

$$\text{Energia de deformação V1 -> matriz de rigidez elástica: } K_{ELb,i,j} := \int_0^L E \cdot A \cdot dub(x, L)_i \cdot dub(x, L)_j dx$$

Interação entre as funções básicas e as funções adicionais:

$$i := 1..2 \quad j := 1..NL$$

Massa:

$$M_{CLbt,i,j} := \int_0^L m \cdot u_b(x, L)_i \cdot u_L(x, j, L) dx \quad M_{CLbt} := M_{CLbt}^T$$

Rigidez elástica:

$$K_{ELbt,i,j} := \int_0^L E \cdot A \cdot du_b(x, L)_i \cdot du_L(x, j, L) dx \quad K_{ELbt} := K_{ELbt}^T$$

Funções Adicionais

i := 1..NL

j := 1..NL

Massa:

$$M_{CLt,i,j} := \int_0^L m \cdot u_L(x, i, L) \cdot u_L(x, j, L) dx$$

Rigidez elástica:

$$K_{ELt,i,j} := \int_0^L E \cdot A \cdot du_L(x, i, L) \cdot du_L(x, j, L) dx$$

Formação das matrizes completas a partir das submatrizes

Massa: $M_{cL} := \text{augment}(M_{CLb}, M_{CLt})$ Aux := augment(M_{CLb}, M_{CLt}) $M_{cL} := \text{stack}(M_{cL}, \text{Aux})$

Rigidez elástica:

$K_{cL} := \text{augment}(K_{ELb}, K_{ELt})$ Aux := augment(K_{ELb}, K_{ELt})

$K_{cL} := \text{stack}(K_{cL}, \text{Aux})$

3. Inclusão de Base Elástica

Para incluir o efeito de uma base elástica, basta incorporar a energia correspondente, seja como externa ou como interna (incluindo na energia de deformação). Tomando $K_s/L = g(x)$, obtém-se uma matriz de rigidez já acrescida desse efeito, como mostrado abaixo.

Integração ao Longo da Barra

Funções Básicas:

i := 1..2 j := 1..2

Matriz de rigidez associada à energia de deformação da base: $K_{ELkb,i,j} := \int_0^d g(x) \cdot u_b(x, L)_i \cdot u_b(x, L)_j dx$

Interação entre as funções básicas e as funções adicionais

i := 1..2 j := 1..NL

Matriz de rigidez associada à energia de deformação da base:

$$K_{ELkt,i,j} := \int_0^d g(x) \cdot u_b(x, L)_i \cdot u_L(x, j, L) dx \quad K_{ELkt} := K_{ELkt}^T$$

Funções Adicionais $i := 1..NL$ $j := 1..NL$

Matriz de rigidez associada à energia de Deformação da base: $K_{ELkt,i,j} := \int_0^d g(x) \cdot u_L(x, i, L) \cdot u_L(x, j, L) dx$

Soma na matriz de rigidez:

$$K_{ELb} := K_{ELb} + K_{ELkb} \quad K_{ELbt} := K_{ELbt} + K_{ELkt} \quad K_{ELtb} := K_{ELtb} + K_{ELktb} \quad K_{ELt} := K_{ELt} + K_{ELkt}$$

Montagem das Matrizes oriundas das diversas energias

Notar que não foi considerado o efeito geométrico na base. Além disso, foi desprezada a massa da base elástica.

$$K_{EL} := \text{augment}(K_{ELb}, K_{ELbt}) \quad \text{Aux} := \text{augment}(K_{ELtb}, K_{ELt})$$

$$K_{EL} := \text{stack}(K_{EL}, \text{Aux})$$

$$K_{EL_{1,1}} = 2.93658 \times 10^5 \quad K_{EL_{2,2}} = 2.77894 \times 10^5$$

Condições de apoio:

$$cmola_1 := 0 \quad [F]/[L]$$

$$cmola_2 := 0 \quad [F][L]$$

Imposição das Condições de Apoio:

$$K_{E2} := K_{EL}$$

$$i := 1..2$$

$$K_{E2,i,i} := K_{EL_{i,i}} + cmola_i$$

Resolvendo o problema de autovalores para as freqüências.

$$\omega_{square} := \text{eigenvals}\left[\left(M_{cl}\right)^{-1} \cdot (K_{E2})\right]$$

$$\omega := \text{sort}\left(\sqrt{\omega_{square}}\right)$$

M	R
140.43798	223554
140.43799	554265
140.43800	9284439
140.43801	147394249
140.43802	19645575
140.43803	24502992
140.43804	298728503
140.43805	342276851
140.43806	391423863
140.43807	44138532
140.43808	490128008
140.43809	54029291
140.43810	59035231
140.43811	6411768
140.43812	69157769

Apêndice C

Neste apêndice é apresenta a rotina programada para a determinação de frequências transversais em estacas.

Vibrações Transversais em Estacas: Vigas em Base Elástica

1. Introdução

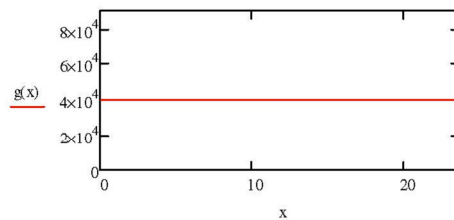
É apresentada uma metodologia, baseada no método de Rayleigh-Ritz para cálculo de freqüências e modos de vibração de vigas **esbeltas** (i.e., satisfazendo a aproximação clássica de Euler-Bernoulli) em base elástica. Na modelagem do elemento de viga, utilizam-se para aproximação de deslocamentos transversais funções cúbicas convencionais, enriquecidas por um número NT de funções adicionais que combinam funções polinomiais e trigonométricas. Essas funções adicionais satisfazem as condições de contorno nulas em deslocamentos e rotações.

$$L := 23.6 \quad \text{Comprimento da estaca} \quad [\text{m}] \quad K_s := 944000 \quad \text{Soil Spring Stiffness} \quad [\text{kN/m}]$$

$$d := 23.6 \quad \text{Comprimento imerso em solo} \quad [\text{m}]$$

Função $g(x)=K_s/L$ (modulos of subgrade reaction).

$$g(x) := \frac{K_s}{L} \quad \begin{array}{l} \text{Modulus of} \\ \text{Subgrade} \\ \text{Reaction} \end{array} \quad [\text{kN/m}^2]$$



$$E := 5600\sqrt{20 \cdot 1000} \quad \text{Módulo de elasticidade da estaca} \quad [\text{kN/m}^2]$$

$$\rho_0 := 24 \quad \text{Peso específico do material da estaca} \quad [\text{kN/m}^3]$$

$$I := \pi \cdot \frac{(0.7)^4}{64} \quad \text{Momento de Inércia da seção transversal da estaca} \quad [\text{m}^4]$$

$$A := \pi \cdot \frac{0.7^2}{4} \quad \text{Área da seção transversal da estaca} \quad [\text{m}^2]$$

$$m := \frac{A \cdot L \cdot \rho_0}{L \cdot 9.81} \quad \text{massa por unid. comprimento da estaca} \quad [\text{kN/m}/(\text{m/s}^2)]$$

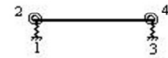
$$P := 1650 \quad \text{Magnitude da Carga Axial} \quad [\text{kN}]$$

$$\text{Números de funções adicionais:} \quad NT := 15$$

$$NL := 15$$

2. Geração das funções transversais cúbicas básicas da viga e suas derivadas

Estas funções $wT(i)$, $i = 1..4$, correspondem a deslocamentos unitários em cada um dos 4 graus de liberdade do elemento de viga indicados na figura.

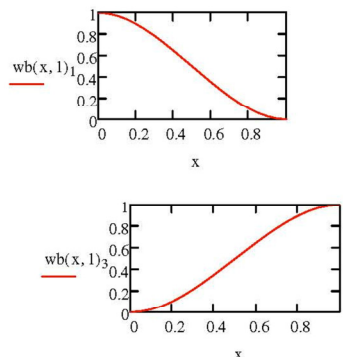


`nbasT := 1..4`

$$wb(x, L) := \begin{pmatrix} 1 - 3 \cdot \frac{x^2}{L^2} + 2 \cdot \frac{x^3}{L^3} \\ x - 2 \cdot \frac{x^2}{L} + \frac{x^3}{L^2} \\ 3 \cdot \frac{x^2}{L^2} - 2 \cdot \frac{x^3}{L^3} \\ -\frac{x^2}{L} + \frac{x^3}{L^2} \end{pmatrix} \quad ddwb(x, L) := \begin{pmatrix} \frac{-6}{L^2} + 12 \cdot \frac{x}{L^3} \\ \frac{-4}{L} + 6 \cdot \frac{x}{L^2} \\ \frac{6}{L^2} - 12 \cdot \frac{x}{L^3} \\ \frac{-2}{L} + 6 \cdot \frac{x}{L^2} \end{pmatrix} \quad dwb(x, L) := \begin{pmatrix} -6 \cdot \frac{x}{L^2} + 6 \cdot \frac{x^2}{L^3} \\ 1 - 4 \cdot \frac{x}{L} + 3 \cdot \frac{x^2}{L^2} \\ 6 \cdot \frac{x}{L^2} - 6 \cdot \frac{x^2}{L^3} \\ -2 \cdot \frac{x}{L} + 3 \cdot \frac{x^2}{L^2} \end{pmatrix}$$

Gráficos das Funções Básicas das Vigas:

$$x := 0, 0.05.. 1$$



3. Geração das funções adicionais

Estas funções são a soma de funções cúbicas com a função seno, com a propriedade de valores nulos das funções e suas primeiras derivadas nas extremidades $x=0$ e $x=L$. Desta forma, as funções adicionais permitem um refinamento hierárquico, não sendo afetadas pelas condições de contorno essenciais do elemento (deslocamentos e rotações nodais). Para melhorar a aproximação, basta especificar um número maior de funções adicionais (as funções básicas permanecem sempre as mesmas).

Notar que outras famílias de funções (polinômios de grau maior que 3, p.e.) poderiam ser usadas; basta impor as condições de deslocamentos e rotações nulas nas extremidades para tais funções. Para evitar problemas numéricos com uso de várias funções, pode-se utilizar uma família de funções ortogonais com respeito à energia de deformação V1.

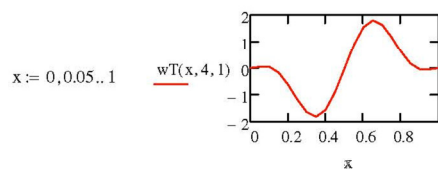
$$n := 1..NT$$

$$wT(x, n, L) := \frac{-n \cdot \pi}{L} \cdot x + \frac{n \cdot \pi}{L^2} \left[2 + (-1)^n \right] x^2 - \frac{n \cdot \pi}{L^3} \left[1 + (-1)^n \right] x^3 + \sin\left(\frac{n \cdot \pi \cdot x}{L}\right)$$

$$dwT(x, n, L) := -n \cdot \frac{\pi}{L} + 2 \cdot n \cdot \pi \cdot \frac{\left[2 + (-1)^n \right]}{L^2} \cdot x - 3 \cdot n \cdot \pi \cdot \frac{\left[1 + (-1)^n \right]}{L^3} \cdot x^2 + \cos\left(n \cdot \frac{\pi}{L} \cdot x\right) \cdot n \cdot \frac{\pi}{L}$$

$$ddwT(x, n, L) := 2 \cdot n \cdot \pi \cdot \frac{\left[2 + (-1)^n \right]}{L^2} - 6 \cdot n \cdot \pi \cdot \frac{\left[1 + (-1)^n \right]}{L^3} \cdot x - \sin\left(n \cdot \frac{\pi}{L} \cdot x\right) \cdot n^2 \cdot \frac{\pi^2}{L^2}$$

Gráficos das Funções Adicionais:



4. Obtenção das Matrizes de Rígidez Elástica, Massa e Rígidez Geométrica

Notar que:

1) as matrizes de rigidez elástica KE (no caso, apenas com energia de flexão), rigidez geométrica (das tensões) KG ou KS, e massa M, podem ser obtidas, respectivamente, das energias

V1 (de deformação), proporcional à integral de w''^2 ,
V3 (das tensões para carga de direção constante = trabalho das cargas),
proporcional à integral de w''^2 ,
e VC (cinética), proporcional à integral de w^2 ;

2) quando as cargas são conservativas, mas não permanecem de direção e magnitude constante no processo de flambagem, é necessário acrescentar a matriz de rigidez (que também às vezes é chamada de "geométrica adicional") das cargas KL, associada à energia V4 (i.e., trabalho das cargas, além do já computado em V3);

3) quando as cargas não são conservativas, é possível gerar a correspondente matriz de rigidez das cargas (não-simétrica) com uso de considerações de equilíbrio ou do trabalho incremental das cargas $-dV4 = dW$ (aqui não é possível integrar, pois não há função de energia no caso não-conservativo).

Tomando apenas funções polinomiais básicas wTb:

i := 1..4 j := 1..4

$$\text{Energia cinética VC} \rightarrow \text{matriz de massa: } M_{Ctb}_{i,j} := \int_0^L m \cdot wb(x, L)_i \cdot wb(x, L)_j dx$$

$$\text{Energia da força axial V3} \rightarrow \text{matriz geométrica: } K_{Gtb}_{i,j} := \int_0^L dwb(x, L)_i \cdot dwb(x, L)_j dx$$

$$\text{Energia de deformação V1} \rightarrow \text{matriz de rigidez elástica: } K_{Etb}_{i,j} := \int_0^L E \cdot I \cdot ddwb(x, L)_i \cdot ddwb(x, L)_j dx$$

Interação entre as funções básicas e as funções adicionais:

i := 1..4 j := 1..NT

$$\text{Massa: } M_{Cbt}_{i,j} := \int_0^L m \cdot wb(x, L)_i \cdot wT(x, j, L) dx \quad M_{Ctb} := M_{Cbt}^T$$

$$\text{Rigidez Geométrica: } K_{Gbt}_{i,j} := \int_0^L dwb(x, L)_i \cdot dwT(x, j, L) dx \quad K_{Gtb} := K_{Gbt}^T$$

$$\text{Rigidez elástica: } K_{Ebt}_{i,j} := \int_0^L E \cdot I \cdot ddwb(x, L)_i \cdot ddwT(x, j, L) dx \quad K_{Etb} := K_{Ebt}^T$$

Funções Adicionais

$i := 1..NT$

$j := 1..NT$

Massa:

$$M_{Ct_{i,j}} := \int_0^L m \cdot wT(x, i, L) \cdot wT(x, j, L) dx$$

Rigidez Geométrica:

$$K_{Gt_{i,j}} := \int_0^L dwT(x, i, L) \cdot dwT(x, j, L) dx$$

Rigidez elástica:

$$K_{Et_{i,j}} := \int_0^L E \cdot I \cdot d\bar{d}wT(x, i, L) \cdot d\bar{d}wT(x, j, L) dx$$

Formação das matrizes completas a partir das submatrizes

Massa: $M_c := \text{augment}(M_{Cb}, M_{Ctb})$ Aux := augment(M_{Ctb}, M_{Cl}) $M_c := \text{stack}(M_c, \text{Aux})$

Geométrica: $K_g := \text{augment}(K_{Gb}, K_{Gbt})$ Aux := augment(K_{Gtb}, K_{Gt}) $K_g := \text{stack}(K_g, \text{Aux})$

Rigidez elástica: $K_E := \text{augment}(K_{Eb}, K_{Ebt})$ Aux := augment(K_{Etb}, K_{Et}) $K_E := \text{stack}(K_E, \text{Aux})$

5. Inclusão de base elástica

Para incluir o efeito de uma base elástica, basta incorporar a energia correspondente, seja como externa ou como interna (incluindo na energia de deformação). Tomando $K_s/L = g(x)$ como sendo a função da base transversal, obtém-se uma matriz de rigidez já acrescida desse efeito, como mostrado abaixo.

Integração ao Longo da Barra

Funções Básicas:

$i := 1..4$ $j := 1..4$

Matriz de rigidez associada à energia de deformação da base: $K_{Ekb_{i,j}} := \int_0^d g(x) \cdot wb(x, L)_i \cdot wb(x, L)_j dx$

Interação entre as funções básicas e as funções adicionais

$i := 1..4$ $j := 1..NT$

Matriz de rigidez associada à energia de deformação da base:

$$K_{Ekbm_{i,j}} := \int_0^d g(x) \cdot wb(x, L)_i \cdot wT(x, j, L) dx \quad K_{Ektb} := K_{Ekb}^T$$

Funções Adicionais $i := 1..NT$ $j := 1..NT$

Matriz de rigidez associada à energia de Deformação da base: $K_{Ekt_{i,j}} := \int_0^d g(x) \cdot wT(x, i, L) \cdot wT(x, j, L) dx$

Soma na matriz de rigidez:

$$K_{Ekb} := K_{Ekb} + K_{Ekbm} \quad K_{Ekt} := K_{Ekt} + K_{Ektb} \quad K_{Etb} := K_{Etb} + K_{Ektb} \quad K_{Et} := K_{Et} + K_{Ektb}$$

Montagem das Matrizes oriundas das diversas energias

Notar que não foi considerado o efeito geométrico na base. Além disso, foi desprezada a massa da base elástica. Entretanto, as matrizes M_c e K_g são re-geradas abaixo, mostrando que seria possível considerar a massa da base elástica (relevante, em muitos casos) e o efeito geométrico na base (que parece menos importante).

En. Cinética: $M_c := \text{augment}(M_{Cb}, M_{Ct})$ $Aux := \text{augment}(M_{Cb}, M_{Ct})$ $M_c := \text{stack}(M_c, Aux)$
 En. da Força Axial: $K_g := \text{augment}(K_{Gb}, K_{Gbt})$ $Aux := \text{augment}(K_{Gb}, K_{Gbt})$ $K_g := \text{stack}(K_g, Aux)$
 En. de Deformação: $K_E := \text{augment}(K_{Eb}, K_{Ebt})$ $Aux := \text{augment}(K_{Eb}, K_{Ebt})$ $K_E := \text{stack}(K_E, Aux)$

A seguir, continua-se a apresentação de exemplos.

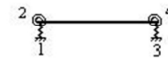
Condições de apoio:

$$cmola_1 := 0 \quad [F]/[L]$$

$$cmola_3 := 0 \quad [F]/[L]$$

$$cmola_4 := 0 \quad [F]/[L]$$

$$cmola_2 := 0 \quad [F]/[L]$$



Imposição das Condições de Apoio:

$$K_{E2} := K_E$$

$$K_{E1,1} = 3.50898 \times 10^5$$

$$i := 1..4$$

$$K_{E2,i,i} = 5.05736 \times 10^6$$

$$K_{E2,i,i} := K_{E1,i,i} + cmola_i$$

Resolvendo o problema de autovalores para as freqüências.

Imposição das Condições de Apoio:

$$i := 1..4$$

$$\omega_{square} := \text{eigenvals}\left[\left(M_c\right)^{-1} \cdot \left(K_{E2} + P \cdot K_g\right)\right]$$

$$K_{E2,i,i} := K_{E1,i,i} + cmola_i$$

Resolvendo o Problema de Autovalores para a carga crítica (problema é estático):

$$\omega := \text{sort}\left(\sqrt{\omega_{square}}\right)$$

$$\text{InvP_critico} := \text{eigenvals}\left(-K_{E2}^{-1} \cdot K_g\right)$$

$$P_{critico} := \overline{\text{sort}(\text{InvP}_{\text{critico}})^{-1}}$$

$$f := \text{sort}\left[\left(\frac{\omega}{2 \cdot \pi}\right)^2\right]$$

